

## اطنام العينات الزجاجية المحتوية على البزموت واستخدامها في تحليل الجمل المعقّدة عالية الناقلة

الدكتور محمد معروف\*

(قبل للنشر في 19/2/1996)

### □ الملخص □

يتطلب تصنيع السيراميک من النوع HTSC على أساس  $Bi, Sr, Ca, Cu, O$  زمناً طويلاً ويشمل مراحل عديدة، وقد يؤدي إلى فقدان المكونات الأولية منه. كما يؤدي حدوث أي اختلاف بسيط لهذه المركبات عن التركيب القياسي إلى حدوث تبدلات مفاجئة في الخواص الفيزيائية له. يستدعي ذلك استخدام تقنيات فعالة وسريعة التحليل لـ HTSC على أساس  $Bi, Sr, Ca, Cu, O$  ذات دقة جيدة، فعلى الرغم من دقة طرق التحليل الحجمي فإنها تحمل العديد من السلبيات في كونها أيضاً تتطلب زمناً أطول لإنجاز التحليل، تستخدم في الوقت الحاضر الطرائق الفيزيائية والفيزو-كيميائية لتحديد التركيب القياسي للسيراميک HTSC. لكن هذه الطرائق تحتاج إلى إجراء معايرة أولية للإشارة التحليلية ويشترط عند إنجاز هذه المعايرة وجود عينات عيارية ذات خواص تطابق خواص المادة المراد تحليلها.

\* مدرس في قسم الكيمياء - كلية العلوم - جامعة تشرين - اللاذقية - سوريا.

## Synthesis of Glass Samples to Containing of Bismuth Used for Composition Analysis of High Conductors

Dr. M. MAAROUF\*

(Accepted 19/2/1996)

### □ ABSTRACT □

*Fabrication of Bi, Sr, Ca, Cu, O base HTSC ceramics requires a long time, includes several stages, and may involve a loss of initial components. On the other hand, even a slight deviation from the stoichiometric composition leads to abrupt changes in the physical properties of HTSC. For this reason, elaboration of rapid and reliable methods of analysis of Bi, Sr, Ca, Cu, O base HTSC with good metrological parameters is an important task. Despite the high accuracy of titrimetric and the possibility for obtaining absolute concentrations of the components, these methods have a number of disadvantages, e.g. they are destructive and require a long time. Therefore, physicochemical and physical methods are used in the present time for the determination of stoichiometric composition of HTSC ceramics. However, the latter methods require preliminary calibration of analytical signal. The calibration may be accomplished provided there are reference specimens whose properties correspond to those of the materials.*

---

\* Lecturer at Chemistry Department, Faculty of Science, Tishreen University, Lattakia, Syria.

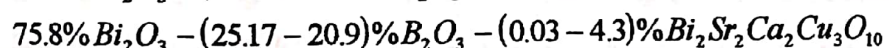
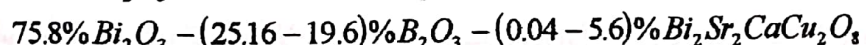
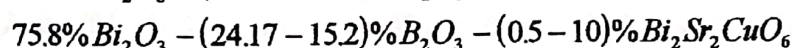
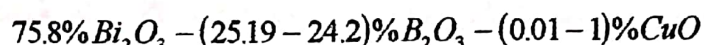
## 1-العمل التجاري:

الكمون 35kv والتيار 30mA، وكانت البلورة المحلولة من النوع LiF(200) التي تم عندها الكشف عن كافة العناصر الموجودة في السيراميك HTSC.

قمنا بتسجيل بداية ونهاية القمم على Bi, Sr, Ca, Cu, مسافات لا تقل عن (arc deg+1) من الدرجة القوسية، حيث حسبنا المتوسط وطرحناه من الإشارة التحليلية.

اخترنا التعريض بطريقة أتاحت لنا تسجيل 10000 نبضة على الأقل. كما زاد من حساسية هذه الطريقة وجود غطاء لحجرة مقياس الطيف، لا يسمح للهواء بال النفاذ مما أدى إلى زيادة الحساسية بعامل قدره (5) بالنسبة للنحاس [1].

تتلخص طريقة تحضير العينات الزجاجية العيارية فيما يلي: سحقنا أكسيد البور ثم قمنا بتشكيل مزاج متعددة من  $Bi_2O_3$ - $B_2O_3$  والمادة المدروسة [2] والمكونة من النسب التالي:



حرارتها 1173k ثم تركت البوتقة بعد انصهار المزيج لمدة (30-40) دقيقة مع التحريك المستمر للمزيج المصهور. قمنا

تم تصنيع السيراميك من النوع HTSC وعينات زجاجية باستخدام أكسيد البزموت النقي وأكسيد البور والنحاس وكربونات الكالسيوم والسترنسيوم النقي كيميائياً. تمت هذه الأكسيدات الرطوبة من الجو أثناء الحفظ. لذلك عملنا على تعريض أكسيد البور لعملية إعادة الصهر بالترغيف وكذلك قمنا بعملية تلدين الأكسيد الأخرى في درجة حرارة 1000k لمدة ثلاثة ساعات على الأقل، وذلك لتفادي حدوث أخطاء نظامية أثناء عملية تصنيع العينات العيارية الزجاجية. ثم أدخلت المواد إلى خلاط. استخدمنا هذه المواد لتصنيع السيراميك HTSC وهي في الحالة الصلبة، وأجرينا التحليل باستخدام طيف الفلورة لأشعة X بواسطة مقياس الطيف من النوع VRA-30. جرى تحديد كل من Ka عند الخط الطيفي Ca, Sr, Cu والعنصر Bi عند الخط الطيفي L وكان مهبط أنبوب رونتجن من معدن الكروم ذي

قمنا بسحق كل مزيج على حدة لمدة 15/ دقيقة على الأقل ونقلناه بعدئذ إلى بونقة، أدخلنا البوتقة إلى مرمرة كهربائية درجة

## 2- النتائج والمناقشة:

يعتبر تحويل المواد المدروسة إلى محليل صلبة أو محلول سائل من الطائق المجدية في تحضير العينات للتحليل بواسطة طيف رونتجن المفلورة والتي تضمن تجانساً كافياً لا يظهر فيه أي تأثير على شدة الفلورة عند التبدلات الطيفية [4]. تم الحصول على المحاليل الصلبة بصهر المادة المدروسة داخل مزيج لعناصر ذات أعداد ذرية صغيرة. تتمثل إذا عملية تحضير مواد مشعة ثابتة أمام التأثيرات الخارجية في تحويل المزائج المكونة للزجاج إلى زجاج. تستخدم الأكسيد المكونة للزجاج في تحضير العينات العيارية بالإضافة إلى مواد أخرى مكونة للزجاج. نشير هنا إلى الدور الهام الذي يلعبه أكسيد البور وبعض المركبات المشتقة منه في تصنيع العينات العيارية الزجاجية، يمتلك أكسيد البور قدرة عالية على تشكيل الزجاج الذي يتميز بشفافية عالية لأنشعة X، كما يؤدي إلى صهر المواد المدروسة بدرجات حرارة أخفض من درجة انصهار السيليكات والفوسفات والجيرمانات. لكن درجة اللزوجة العالية لأكسيد البور  $B_2O_3$  تجعلنا نستخدم أكسيد البزموم  $Bi_2O_3$  الذي يخضع من لزوجة المزيج المصهور المشكل للمادة الزجاجية. تم اختيار نسبة  $Bi_2O_3/B_2O_3$  بالاعتماد على المخطط الطوري لأكسيد جملة ثلاثة. كان محتوى أكسيد البور  $B_2O_3$  الموافق

بعد ذلك بصب المزيج المصهور في قوالب بورسلان ذات أوجه سفلية مسطحة، تم تسخينها مسبقاً وتركناه عرضة للهواء المباشر حتى تشكل الزجاج. عالجنا العينات الزجاجية الناتجة عند الدرجة  $573k$  ولمدة (16-12) ساعة بهدف تلدينها وتحفيض التوترات الداخلية وزيادة مقاومتها للعوامل الخارجية. أجرينا تحديد محتوى النحاس بطريقة التحليل الطيفي الضوئي بعد إجراء عملية تدقيق للعينات العيارية وجعلها ذات ثمانة واحدة ثم صقلناها [3].

قدرنا درجة انصهار HTSC وسجلنا درجة تبلور المزيج عند التبريد فكانت درجة حرارة المزيج ( $74.8\ Bi_2O_3 - 25.2\ B_2O_3 - 1100$  مساوية HTSC) عند أعظم كمية من HTSC والبالغة 10%.

قمنا بتسجيل بداية ونهاية القمم المميزة للعناصر  $Bi, Sr, Ca, Cu$  على مسافات لا تقل عن (arc deg+1) من الدرجة التوسية، حيث حسبنا المتوسط وطرحناه من الإشارة التحليلية.

اخترنا التعريض بطريقة أثاحت لنا تسجيل 10000 نبضة على الأقل، كما أنه قد زاد من حساسية هذه الطريقة وجود غطاء لحجرة مقياس الطيف، والذي لا يسمح للهواء بالتفوذ، وهذا ما زاد الحساسية بعامل قدره (5) بالنسبة للنحاس.

توزيع احتمالي ( $P=0.95$ ). التي لم تزيد عن  $+1\%$  بالنسبة للبزموت وعن  $+2\%$  من أجل النحاس. توصلنا من خلال هذه النتيجة إلى أن العينات الزجاجية التي قمنا بتصنيعها ذات تجانس كافٍ وهي تصلح للاستخدام كعينات عيارية، لتحديد محتوى العناصر الداخلة في تركيب الخرف من النوع [5]HTSC.

أما من أجل الحصول على مخططات المعايرة بطريقة استخدام طيف الفلورة العيارية هذه هي  $(0.005-0.8)\%$  من أجل النحاس  $(0.004-1.00)\%$  من أجل الستورنسيوم  $(0.002-0.25)\%$  و  $(0.002-0.25)\%$  من أجل الكالسيوم. كانت علاقة الإشارات التحليلية بتراكيز كل من النحاس والكالسيوم والستورنسيوم في المزاج:

$\text{Bi}_2\text{Sr}_2\text{-CuO}_6\text{-Bi}_2\text{O}_3$ ,  $\text{B}_2\text{O}_3\text{-Bi}_2\text{O}_3\text{-Bi}_2\text{Sr}_2\text{Ca}_2\text{Cu}_3\text{O}_{10}\text{-Bi}_2\text{O}_3$  و  $\text{CuO}$   $\text{B}_2\text{O}_3$ ,  $\text{Sr}_2\text{CaCu}_2\text{O}_8\text{-Bi}_2\text{O}_3\text{-B}_2\text{O}_3$  خطية ضمن مجالات التراكيز المذكورة أعلاه.

للحكم على طريقة التحليل المستخدمة اتبعنا طريقة المعيار الداخلي وطريقة المعيار الخارجي وعرضنا النتائج في الجداول (1-3). تزيد طريقة المعيار الداخلي من إمكانية تكرار النتائج وتعمل على تحسين المعاملات التيايسية للإشارات التحليلية. قمنا بالتأكد من صحة النتائج عن طريق حساب قيمة المعامل  $t$  وطريقة

لتشكيل المزيج ( $25\text{Wt\%}$ ) وزناً أما نسبة أكسيد البزموت المناسبة لشكل الطور الزجاجي  $(70-75)\%$  وزناً. يعمل أكسيد البزموت  $\text{Bi}_2\text{O}_3$  على خفض نقطة انصهار المزيج مع السماح للعينة بامتصاص أشعة X. إن هذا العامل هام جداً للحصول على العينات ذات المحتوى الضئيل للمادة المراد تحليلها ممتعة بخصائص جيدة قريبة من المثالية. يؤدي تمديد المادة المدروسة بوساطة المزيج المؤلف من  $74.8\% \text{Bi}_2\text{O}_3 - 25.2\% \text{B}_2\text{O}_3$  إلى تشكيل مزيج كثيف يمثل البزموت فيه المادة الماصة الرئيسية. تعمل إضافة  $\text{Bi}_2\text{O}_3$  على إزالة تأثير النحاس والكالسيوم والستورنسيوم، لأن نسبة هذه العناصر لا يتجاوز 1%.

قدمنا درجة تجانس المشعات الزجاجية باستخدام طريقة التحليل بأشعة X على المقياس الطيفي من النوع CAMEBAX ثم استخدمنا التغستان كمنبع إلكترونات أنبوب رونتجن ذي الكمون (35 Kev) وقطر المسير الأعظمي  $3 \text{ mm}$  وشدة التيار  $20\text{mA}$  وكانت البلورة محللة من النوع  $\text{LiF}(200)$ . حددنا تجانس المشعات الزجاجية المكونة من التركيب:  $\text{Bi}_2\text{O}_3\text{-B}_2\text{O}_3\text{-Bi}_2\text{Sr}_2\text{CuO}_6$  الشدة الإشعاعية المميزة للخط الطيفي  $\text{Cu}(\text{Ka}), \text{Bi}(\text{L})$  في عشر نقاط مختلفة. حسبنا درجة التجانس من متوسط مربع الفرق بين القمم المقاومة لقيمة

و ضمن مجال أشعة الـUV (280nm) تتزايد قمة الفلورة خطياً مع ازدياد تركيز البزموت المحسور بين 58-68% وزناً في العينات الزجاجية. وتبين لنا مبدئياً بأن النحاس يغطي فلورة زجاج (بورات-بزمونات) في درجات الحرارة المنخفضة. تكون آلية التفريغ عن طريق تخفيف درجة الفلورة دون التعرض للتغير القمة المميزة ( $\lambda=540\text{nm}$ ). تكون العلاقة  $I=f(c)$  خطية فقط حتى التركيز 0.25% للنحاس، لكن مع استمرار تزايد النحاس يستمر الاختلاف بمعدل بسيط الشكل (1). يتحول ليمر في نهاية عظمى (عتبة).

لقد تمكنا بالاعتماد على المعلومات المتوفرة لدينا تطبيق طريقة تحديد النحاس في السيراميك HTSC باستخدام عينات عيارية من النوع  $\text{CuO-Bi}_2\text{O}_3-\text{B}_2\text{O}_3$  والتي تحتوي على نسبة وزنية للنحاس 0.008-0.025%. واستخدمنا الطريقة المعيارية لتحديد النحاس بواسطة المطيافية الضوئية بحدود كشف 0.03% وزناً.

تملك العينات العيارية الزجاجية  $\text{Bi}_2\text{O}_3-\text{B}_2\text{O}_3$  حد امتصاص مساو 380nm الذي له الطبيعة نفسها التي نجدها في أكسيد البزموت الأخرى. من حيث التأثير المتبادل بين الإشعاع المؤثر (إشعاع الإثارة) ومرآكز الامتصاص  $\text{Bi}^{+3}$ .

تؤدي إضافة النحاس إلى تغيير في حد الامتصاص فيزيقي مجاله كما نلاحظ

(الكمية المضافة) من عينات تضم أكسيد النحاس  $\text{Bi}_2\text{Sr}_2\text{CuO}_6, \text{CuO}$  أو سيراميك من النوع  $\text{HTSC-Bi}_2\text{Sr}_2\text{CaCu}_2\text{O}_8$ . يتضح من النتائج استخدام المعامل  $t$  بأن الاختلاف بين التراكيز الحقيقة والتراكيز المستحصل عليها نتيجة تحليل العناصر ضئيل نسبياً (بنموذج احتمالي  $P=0.95$ ). تؤكد هذه النتائج عدم وجود أخطاء نظامية. لقد حددناها بالاعتماد على مخططات المعايرة للمشعات الزجاجية من النوع [6].  $\text{Bi}_2\text{Sr}_2\text{CuO}_6-\text{Bi}_2\text{O}_3-\text{B}_2\text{O}_3$  يشكل أكسيد البزموت الجزء الأساسي في العينة وهو الذي يؤثر بشكل كبير على خواص العينات الزجاجية، حيث أنه من المعروف بأن العينات المنصهرة الحاوية على القسم الأساسي من  $\text{Bi}_2\text{O}_3$  يقوم هذا الأخير بالاحتفاظ وهي في الحالة الصلبة بوحدات بنوية ثابتة لذلك يجب أن نتوقع بأن الخواص البصرية للزجاج تكون مماثلة لعديد من الخواص التي يتميز بها البزموت نفسه.

تبين المعلومات المطيافية الناتجة عن البلورات الوحيدة  $\text{Bi}_{14}\text{Ge}_3\text{O}_{12}$  في درجة حرارة (4-400K) بأن هذا المركب يمتلك فلورة ذاتية بواسطة التراخي اثناء الإثارة في مجال الإثارة المرئية والاتحاد من خلال الأيونات  $\text{Bi}^{+3}$  وتبين لنا أيضاً بأن زجاج (بورات-بزمونات) قد تقلور في المجال الضوئي ( $\lambda_{\text{Max}}=530\text{nm}$ ) عند الدرجة (77 K).

يمكن أيضاً قياس محتوى النحاس في عينات السيراميك HTSC باستخدام قفرات قم  $R$ . نذكر مثلاً المجال  $\lambda=3330 \text{ nm}$  فيتضح لنا من الشكل (3) تناقص القفرة مع ازدياد تركيز النحاس بنسبة خطية تصل إلى  $0.03\%$ .

بأن لأطیاف العینات الزجاجیة الحاویة على النحاس قمة امتصاص توافق طول الموجة  $\lambda=560\text{nm}$  ونلاحظ أيضاً تناقص شدة الإشارة التحلیلیة مع ازدياد تركيز النحاس .(2).

الجدول (1): نتائج المعالجات الإحصائية لتحديد محتوى النحاس في الجمل المشكّلة للزجاج

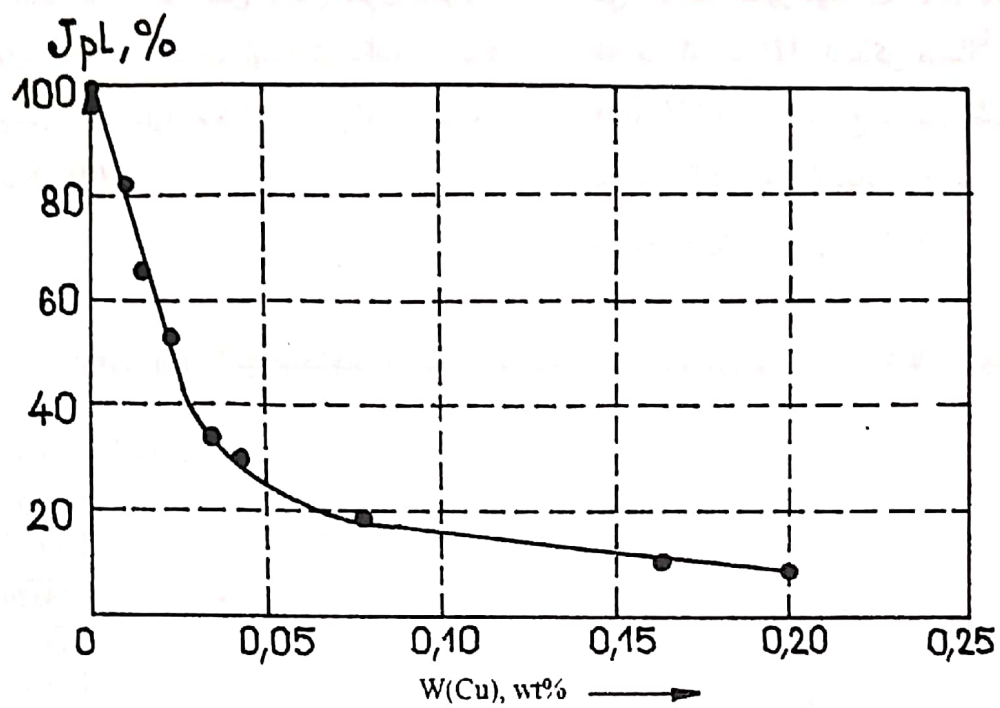
المادة المحلاة	طريقة التحليل	العلاقة الخطية	$C_{\min} \times 10^2$	$S_t(A_1) \times 10^2$	$S_t \times 10^2$
$\text{CuO}$	المعيار الخارجي	$I_{\text{Cu}} = 160 + 9955 * C_{\text{Cu}}$	4	14	2617
	المعيار الداخلي	$I_{\text{Cu}} = 4.0 * 10^{-4} + 1.25 * C_{\text{Cu}}$	0.1	1	0.12
$\text{Bi}_2\text{Sr}_2\text{CuO}_6$	المعيار الخارجي	$I_{\text{Cu}} = 176 + 1081 * C_{\text{Cu}}$	2	3	14380
	المعيار الداخلي	$I_{\text{Cu/Bi}} = 1.0 * 10^{-2} + 1.28 * C_{\text{Cu}}$	1	2	1.0
$\text{Bi}_2\text{Sr}_2\text{CaCu}_2\text{O}_8$	المعيار الخارجي	$I_{\text{Cu}} = 68 + 8802 * C_{\text{Cu}}$	1	2	13090
	المعيار الداخلي	$I_{\text{Cu/Bi}} = 1.1 * 10^{-2} + 1.18 * C_{\text{Cu}}$	1	1	1.2
$\text{Bi}_2\text{Sr}_2\text{Ca}_2\text{Cu}_3\text{O}_{10}$	المعيار الخارجي	$I_{\text{Cu}} = 64 + 11151 * C_{\text{Cu}}$	1	2	4320
	المعيار الداخلي	$I_{\text{Cu/Bi}} = 1.7 * 10^{-2} + 1.21 * C_{\text{Cu}}$	1	2	1.4

الجدول (2): نتائج المعالجات الإحصائية لتحديد محتوى Sr العنصر الفلزی الإشعاعی

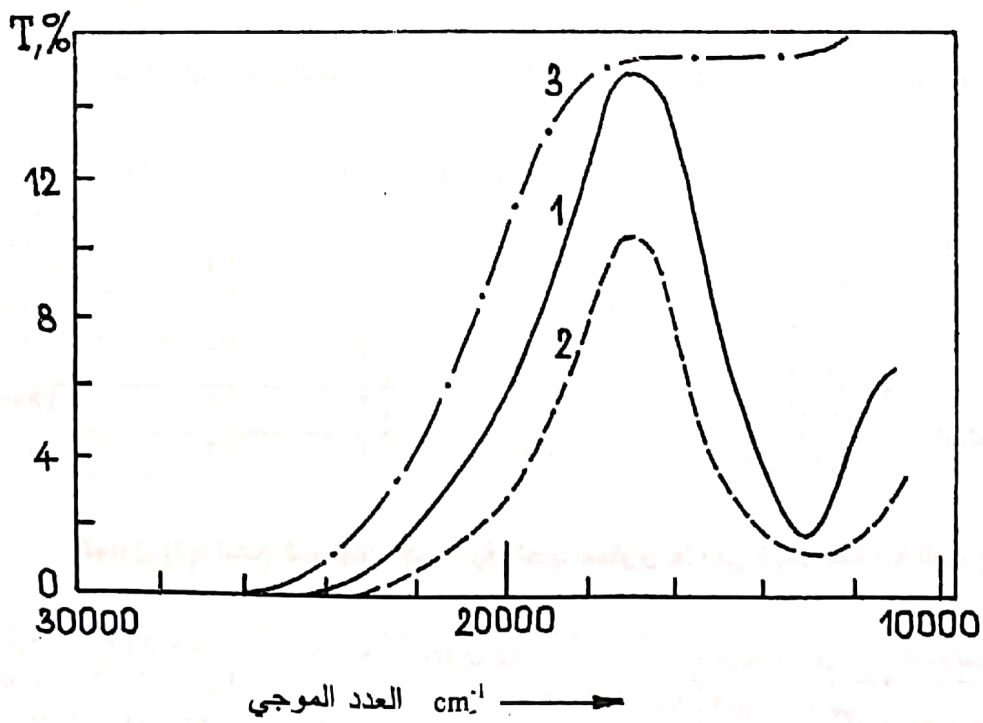
المادة المحلاة	طريقة التحليل	العلاقة الخطية	$C_{\min} \times 10^2$	$S_t(A_1) \times 10^2$	$S_t \times 10^2$
$\text{Bi}_2\text{Sr}_2\text{CuO}_6$	المعيار الخارجي	$I_{\text{Sr}} = 80 + 4235 * C_{\text{Sr}}$	2	2	61100
	المعيار الداخلي	$I_{\text{Sr/Bi}} = 3.0 * 10^{-4} + 0.16 * C_{\text{Sr}}$	2	2	2.3
$\text{Bi}_2\text{Sr}_2\text{CaCu}_2\text{O}_8$	المعيار الخارجي	$I_{\text{Sr}} = 51 + 4062 * C_{\text{Sr}}$	5	3	108200
	المعيار الداخلي	$I_{\text{Sr/Bi}} = 3.0 * 10^{-2} + 0.16 * C_{\text{Sr}}$	5	3	3.9
$\text{Bi}_2\text{Sr}_2\text{Ca}_2\text{Cu}_3\text{O}_{10}$	المعيار الخارجي	$I_{\text{Sr}} = 17 + 4319 * C_{\text{Sr}}$	2	3	37000
	المعيار الداخلي	$I_{\text{Sr/Bi}} = 1.9 * 10^{-3} + 0.16 * C_{\text{Sr}}$	1	3	3.7

الجدول (3): نتائج المعالجات الإحصائية لتحديد محتوى Ca في الجمل المشكّلة للزجاج

المادة المحلاة	طريقة التحليل	العلاقة الخطية	$C_{\min} \times 10^2$	$S_t(A_1) \times 10^2$	$S_t \times 10^2$
$\text{Bi}_2\text{Sr}_2\text{CaCu}_2\text{O}_8$	المعيار الخارجي	$I_{\text{Ca}} = 91 + 2557 * C_{\text{Ca}}$	1	6	273900
	المعيار الداخلي	$I_{\text{Ca/Bi}} = 1.9 * 10^{-3} + 3.22 * C_{\text{Ca}}$	0.7	4	5.0
$\text{Bi}_2\text{Sr}_2\text{Ca}_2\text{Cu}_3\text{O}_{10}$	المعيار الخارجي	$I_{\text{Ca}} = -86 + 3396 * C_{\text{Ca}}$	1	5	21520
	المعيار الداخلي	$I_{\text{Ca/Bi}} = 2.8 * 10^{-2} + 3.63 * C_{\text{Ca}}$	0.7	4	2.6

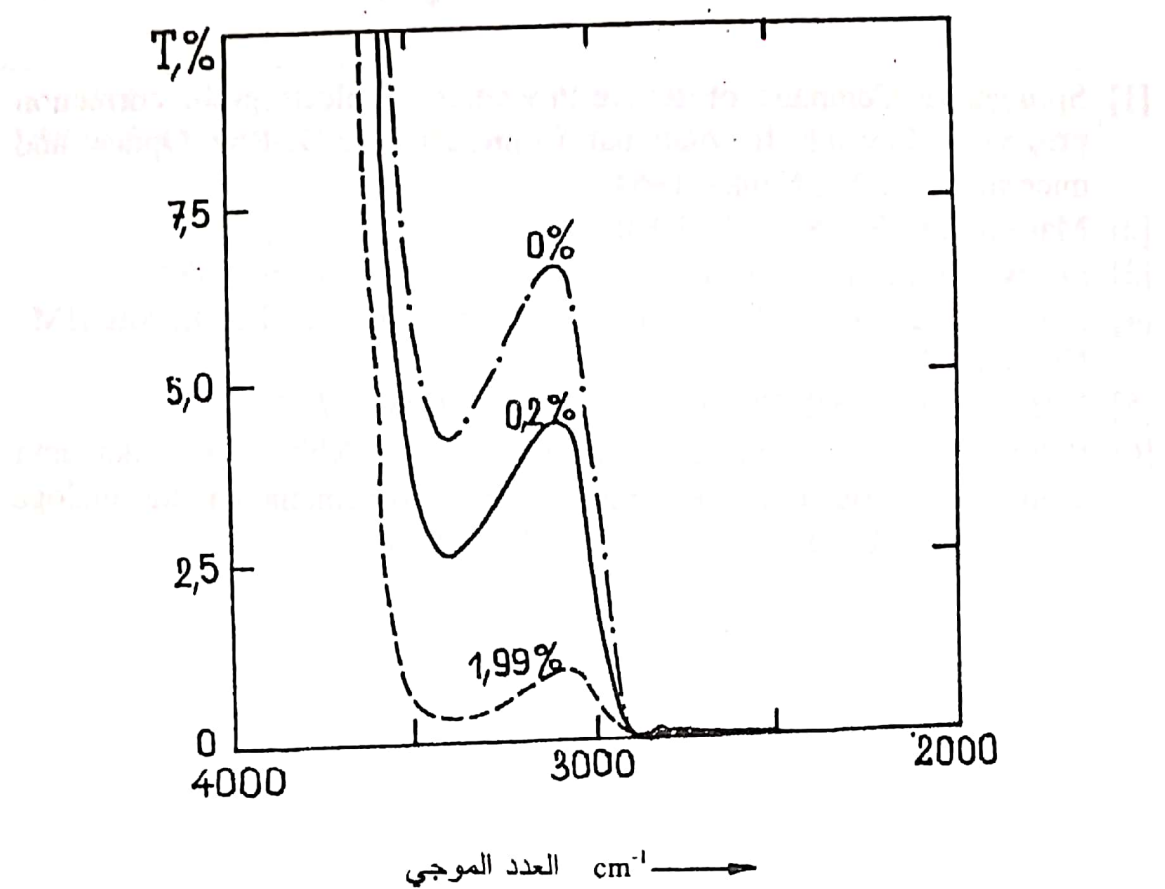


الشكل (1): علاقة الشدة الإشعاعية الضوئية النسبية بتركيز النحاس المتبقي.



الشكل (2): تغير طيف الامتصاص بتغير محتوى النحاس المتبقي في العينات المعيارية.

1-  $W(\text{Cu})=0.12 \text{ wt\%}$ ; 2-  $W(\text{Cu})=0.16 \text{ wt\%}$ ; 3-  $W(\text{Cu})=0$



الشكل (3): أطیاف IR لعينات HTSC مختلفة التراکيز بالنسبة للنحاس.

## REFERENCES

## المراجع

- [1] Springer G. Compaiso of iterative Procedures in electroprobe correction programs, Seventh International Conference on X-Ray Optica and microanalysis/ M., Nauka, 1964.
- [2] Marouf, dis., M., S., 161., 1990.
- [3] Losev. E.F., Cmagunova R.N., Asnore RFA/ M., Chem., 1982.
- [4] A fonin V.B., Gunycheva T.N. RFA gorne barod and meneralis IIM., Nasuka, 1977.
- [5] V.B. Vacilev, Anal. Chem. Vol2, S.(371-370)M., V.Sh. 1989.
- [6] Belokoneva. E.L., Cemanova., Butaskin. A.V., Milb. B.V., Akagemir Belov N.V., Kristalli cheski cstructura Ca-Gallogermanat and his analoga II DAN SSSR - 1980 - T.255, No.5 - S.1099-1104.